



## آشکارسازی زودهنگام خطأ در وضعیت گذرای ذیرمجموعه بخار نیروگاهی با استفاده از ماشین بردار پشتیبان

میلاد مرادی<sup>۱</sup>, علی چائی بخش لنگرودی<sup>۲\*</sup>, امین رمضانی<sup>۳</sup>

۱- دانشجوی کارشناسی ارشد، دانشکده مهندسی مکانیک، دانشگاه گیلان، رشت

۲- استادیار، دانشکده مهندسی مکانیک، دانشگاه گیلان، رشت

۳- استادیار، دانشکده مهندسی برق، دانشگاه تربیت مدرس، تهران

\* رشت، صندوق پستی ۴۱۶۳۵-۳۷۵۶ chaibakhsh@guilan.ac.ir

### چکیده

در این تحقیق، استفاده از ماشین بردار پشتیبان (SVM) به منظور آشکارسازی زودهنگام عیوب افزایش سطح مخزن را انداز در شرایط تغییر بار یک بویلر یک گذر نوع بنسون ارائه شده است. به هم خودن شرایط حرارتی بویلر بخصوص هنگام تغییر توان کاری واحد، از عوامل تغییر سطح مخزن را اندازی است. با توجه به پیچیدگی دینامیک سیستم، در ابتداء، عوامل مؤثر در افزایش سطح مخزن را انداز با توجه به دادهای تجربی بدست آمده از یک واحد نیروگاهی شناسایی شده، سپس با انتخاب ویژگی مناسب ابعاد ورودی کاهش یافته است. نتایج تجربی نشان می‌دهد که تغییر دمای دیوارهای می‌تواند به عنوان یکی از بهترین شاخصه‌های افت کیفیت بخار در نظر گرفته شود. با مقایسه ویژگی‌های استخراجی در شرایط سالم و ناسالم، مدل مناسبی از خطأ با استفاده از ماشین بردار پشتیبان با تابع پایه شعاعی (RBF) به عنوان هسته آن، تهیه شده است. عملکرد سیستم آشکارساز خطأ بر اساس داده‌های وقوع دو عیوب مشابه در دو بازه زمانی متفاوت از یک واحد بخار نیروگاه بخار بررسی شده است. نتایج حاصل، دقت و قابلیت روش پیشنهادی برای کشف زودهنگام شرایط کارکرد ناسالم در وضعیت تغییر بار واحد را نشان می‌دهد. مزیت روش پیشنهادی، پرهیز از ایجاد آلارمه‌های کاذب در بویلهای نیروگاهی در شرایط تغییر بار است.

### اطلاعات مقاله

مقاله پژوهشی کامل

در رافت: ۰۷ تیر ۱۳۹۵

پذیرش: ۳۱ شهریور ۱۳۹۵

ارائه در سایه: ۰۱ ابان ۱۳۹۵

کلید واژگان:

شناسایی عیوب

استخراج ویژگی

واحد نیروگاهی

ماشین بردار پشتیبان

حالات گذار

## Early fault detection in transient conditions for a steam power plant subsystem using support vector machine

Milad Moradi<sup>1</sup>, Ali Chaibakhsh Langrodi<sup>1\*</sup>, Amin Ramezani<sup>2</sup>

1- Department of Mechanical Engineering, University of Guilan, Rasht, Iran

2- Faculty of Electrical Engineering, Tarbiat Modares University, Tehran, Iran

\* P.O.B. 41635-3756, Rasht, Iran, chaibakhsh@guilan.ac.ir

### ARTICLE INFORMATION

Original Research Paper

Received 27 June 2016

Accepted 21 September 2016

Available Online 22 October 2016

#### Keywords:

Fault detection

Feature extraction

Power plant unit

Support vector machine

Transient condition

### ABSTRACT

In this study, an application of support vector machine (SVM) for early fault detection in a Benson type once-through boiler is presented. Thermal conditions disruption inside the boiler during load changes is the main reason for level changes of the start-up vessel. Because of complexity of the system's dynamics, first the effective variables on increasing the level of start-up vessel were identified based on experimental data from a power plant unit. Then, the dimension of input variables was reduced by selecting appropriate features. Experimental results show that the hotwell surfaces' temperature could be considered as the most appropriate indicator for steam quality deterioration. By comparing the extracted features from healthy and unhealthy conditions, appropriate fault model was developed using SVM with radial basis function (RBF) as the kernel. The performance of fault detection system was evaluated with respect to the similar faults at two different time periods that happen in a steam power plant. The obtained results show the accuracy and feasibility of the proposed approach in early detection of faults during the unit's load variations. Advantage of the proposed technique is the prevention of false alarm in power plants' boilers as load changes.

### ۱- مقدمه

در سال‌های اخیر، با افزایش مصرف انرژی الکتریکی و تقاضای روزافزون برای تولید بیشتر انرژی، بازار رقابتی و نیاز به امنیت تولید بیشتر، سبب شده تا ارتقای کارایی تجهیزات تولید برق، به یکی از اولویت‌های این صنعت تبدیل شود [۱]. همچنین امروزه پایش شرایط عملکرد و عیوب‌یابی واحدهای نیروگاهی، کاهش هزینه نگهداری و افزایش بهره‌وری، مورد توجه بسیار است

Please cite this article using:

M. Moradi, A. Chaibakhsh, A. Ramezani, Early fault detection in transient conditions for a steam power plant subsystem using support vector machine, *Modares Mechanical Engineering*, Vol. 16, No. 10, pp. 405-411, 2016 (in Persian)

برای ارجاع به این مقاله از عبارت ذیل استفاده نمایید:

پشتیبان از ویژگی‌های استخراج شده برای تهییه یک سیستم کلاس‌بندی که بتواند شرایط سالم و ناسالم را تشخیص دهد، استفاده می‌شود [12]. ماشین بردار پشتیبان برای مسائل با تعداد کم داده‌ی آموزش و تعداد زیاد ابعاد داده‌ی ورودی، یکی از روش‌های بسیار قدرتمند است [13].

آنچه که در این تحقیق مدنظر است، طراحی یک سیستم عیب‌یاب برای یک واحد بخار نیروگاهی است تا در سریع‌ترین زمان ممکن، عدم کارکرد صحیح واحد را در حالت گذار آن تشخیص و به اپراتور اعلام نماید. تشخیص زود هنگام عدم کارکرد صحیح واحد این مزیت را دارد که به اپراتور فرصت لازم برای اجرای مانور مناسب به منظور حداقل رساندن خطر خروج واحد از مدار تولید را فراهم می‌نماید.

برای این منظور، داده‌های مورد نیاز برای سیستم عیب‌یاب که شامل داده‌های وضعیت سالم و ناسالم گذار واحد بخار بود، انتخاب و استخراج شده است. سپس با کاهش ابعاد آن از طریق استخراج و انتخاب شماری ویژگی، نسبت به آموزش و در نهایت آزمودن سیستم طبقه‌بندی‌کننده اقدام گردید.

طبق شکل 1 در ادامه، ابتدا به تشریح فرایند مطالعه عوامل مؤثر در وقوع آن پرداخته می‌شود. سپس، ضمن معرفی اقدامات صورت گرفته در حوزه داده‌کاوی بر روی داده‌ها، به معرفی با جزئیات بیشتر سیستم طبقه‌بندی‌کننده هوشمند مورد استفاده به عنوان عیب‌یاب پرداخته خواهد شد. در پایان، نتایج حاصل از آزمون سیستم خطایاب هوشمند بر روی داده‌های تحریبی ارائه خواهد شد.

## 2-شرح سیستم مورد مطالعه

مولود بخار مورد مطالعه، یک دیگ بخار بنسون<sup>2</sup> یک‌گذر<sup>3</sup> زیربحارانی 440 مگاواتی با میزان تولید بخار 1408 تن بر ساعت می‌باشد (شکل 2). این کوره با 14 مشعل تحتانی برای گرم کردن کل دیگ بخار بکار گرفته شده است. آب

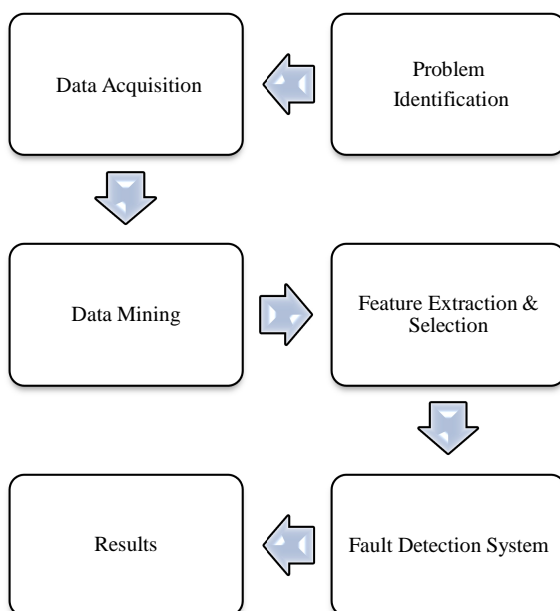


Fig. 1 Flow chart of fault detection process

شکل ۱ فلوچارت فرایند عیب‌یابی

است. با این حال، موارد خاصی در فرایندها می‌تواند رخداد که سبب ضعف کیفیت محصول، رفتار خارج از کنترل و حتی ایجاد خطر برای اپراتور و محیط زیست شود. این گونه موارد خاص غیرقابل پیش‌بینی، نیاز به توسعه ابزارهای برخط<sup>1</sup> برای کشف آنها و تضمین کیفیت نتایج و عملیات ایمن را سبب می‌شود. مانیتورینگ برخط و عیب‌یابی مجموعه‌های بزرگ اهمیت برجسته‌ای در عملکرد فرایند و نگهداری تجهیزات، قابلیت اطمینان و دسترسی‌پذیری مجموعه دارد [6,5]. تشخیص و جadasازی خطایاب یک زمینه پیچیده و گسترده بوده که توسط بسیاری از نویسنده‌گان و از دیدگاه‌های متنوعی مورد مطالعه قرار گرفته است. روش‌های مانیتورینگ آماری چندمتغیره برای تجزیه و تحلیل داده فرایندها اخیراً به گونه‌ای موفق در امور تشخیص خطأ مورد استفاده قرار گرفته‌اند [7]. علاوه بر این، تعداد زیاد داده‌های دریافتی از سنسورهای نصب شده در واحدهای صنعتی سبب شده تا مفهومی چون نگهداری الکترونیکی، به منظور کاهش هزینه نگهداری، انجام آزمایش‌ها و کشف منشاء عیب تجهیزات، ارائه شود [8].

برای چندین دهه، عدم دسترسی به کارشناس خبره به عنوان یکی از مشکلات جدی صنایع بوده است. در این راستا، تلاش برای حل این مسئله منجر به طراحی سیستم خبره مبتنی بر سیستم یادگیری ماشینی شد. در این راستا، برخی از مطالعات به سمت استفاده از هوش مصنوعی متایل گشت [9]. علاوه بر این از صنایع حساس و مهم انتظار می‌رود به سمتی پیش روند که به حداقل زمان کارکرد و حداقل زمان عدم دسترسی دست یابد. در نتیجه، جلوگیری از عدم کارکرد صحیح سیستم می‌تواند موجب کاهش هزینه ناشی از ایجاد خسارت جدی در آن سیستم شود [10,9].

در نگهداری الکترونیکی، سیستم خطایابی هوشمند نقش حیاتی برای شناسایی عیب ایفا می‌کند. روش‌های داده‌کاوی، هسته مرکزی این سیستم‌های هوشمند را تشکیل داده، تأثیر بسزایی در کارایی آنها دارد [1]. روش‌های خطایابی به دو دسته مبتنی بر مدل و مبتنی بر داده تقسیم‌بندی می‌شود. روش‌های مبتنی بر مدل، نیازمند یک مدل جامع از سیستم بوده، در حالی که موفقیت روش‌های مبتنی بر داده، وابسته به دسترسی‌پذیری داده‌ها در بازه زمانی مناسب و روش ریاضی مناسب برای یافتن الگوها در آن داده‌ها می‌باشد. در سیستم‌های صنعتی، به دلیل عدم دسترسی به مدل فرایند (که عموماً ناشی از پیچیدگی آن است) از یک سو و از سوی دیگر امکان ذخیره داده‌های سیستم به طور مرتکب، استفاده از روش‌های آماری مبتنی بر داده از ارجحیت بیشتری برخوردار است.

در میان روش‌های آماری مورد استفاده در عیب‌یابی و خطایابی از جمله می‌توان به شبکه عصبی مصنوعی، سیستم فازی و ماشین بردار پشتیبان اشاره نمود. ماشین بردار پشتیبان بر اساس تئوری یادگیری آماری مبتنی بر اصل اساسی کمینه‌سازی خطر ساختاری در سال 1964 توسط وینیک و چرونیک معرفی شد. ماشین بردار پشتیبان به عنوان الگوریتم یادگیری ماشینی و به منظور طبقه‌بندی دو کلاس مختلف توسط بوزر و همکاران در سال 1992 و وینیک در سال 1995 معرفی شد [11].

روش ماشین بردار پشتیبان یک روش مبتنی بر داده است. از این روش نسبت به دانش پروسه و فرایند مقاوم است. همچنین این روش بر اساس ساختار کمینه کردن خطر، عمل کرده که موجب افزایش قابلیت اطمینان و عمومیت آن شده، امکان استفاده از آن را به کمک کرنل‌های (هسته) انعطاف‌پذیر در فرایندهای غیرخطی ممکن می‌سازد [11]. در ماشین بردار-

<sup>2</sup> Benson

<sup>3</sup> Once-through

<sup>1</sup> On-Line

برای ورود به بخش فوق‌گرم باشد به آن وارد و بخشی که فاقد کیفیت مطلوب است به مخزن راهانداز هدایت می‌شود. اهمیت نقش جداگانه‌تر جلوگیری از ورود قطرات سیار ریز آب به همراه بخار به بخش‌های فوق‌گرم و پیشگیری از خوردگی و ایجاد تنفس‌های حرارتی در این بخش می‌باشد. در سیستم مذکور افزایش سطح مخزن راهانداز بیانگر افزایش میزان بخار بی‌کیفیت بوده و تا دامون این روند و افزایش سطح به بیش از حد مجاز تعريف شده برای سیستم حفاظت واحد نیروگاهی، سیستم حفاظت وارد عمل شده و این امر با خاموش شدن مولد بخار همراه می‌باشد [15]. با توجه به اینکه در واحد بخار، راهاندازی مجدد مولد بخار کاری زمان بر، پرهزینه و دشوار بوده، لذا پیشگیری از وقوع چنین رخدادی از اهمیت ویژه‌ای برخوردار خواهد بود.

### 3- جمع‌آوری داده و داده کاوی

مشاهدات تجربی نشان می‌دهد که افزایش سطح مخزن راهاندازی معمولاً در هنگام گذار سیستم و به هنگام کاهش توان کاری واحد بخار رخ می‌دهد. لذا میزان این افزایش سطح مخزن، ارتباط مستقیمی با تغییرات رخ داده در حالت گذار واحد دارد [15]. در فرایندهای پیوسته، گذار از شرایط عملکردی مختلف و یا حالت‌های پایدار به علت تغییر در بار واحد کاملاً عادی است [7]. در حالات گذراي سیستم‌های دینامیکی رابطه بین متغیرها سیار غیر خطی است. در حالت ماندگار برخلاف حالت گذار، فرض خطی بودن مدل فرایند منطقی است. یک راه حل اعمال شده در بعضی منابع برای مواجهه با حالت گذار سیستم در مانیتورینگ، چشمپوشی از آلام‌های ایجاد شده توسعه آن می‌باشد. در صورت عدم طولانی بودن مرحله گذار این راه حل امکان‌پذیر است [7]. ولی با توجه به این که عیب مورد مطالعه در این پژوهش در حالت گذار فرایند مورد مطالعه رخ می‌دهد لذا می‌باشد به مانیتورینگ حالت گذار اهتمام ورزید.

با توجه به پیچیدگی واحد بخار نیروگاهی، تعیین عوامل مؤثر بر آن بدون شناخت کافی نسبت به آن امکان‌پذیر نخواهد بود. از این رو با مطالعه و بررسی فرایند مورد نظر، عوامل مؤثر بر فرایند افزایش سطح مخزن راهانداز در حالت گذار، تعیین و در جدول 1 ارائه شده است.

از آنجایی که واحد نیروگاهی مورد مطالعه قابلیت استفاده از مازوت، گاز طبیعی و یا استفاده همزمان از هر دو نوع سوخت را داراست و با توجه به این که نوع سوخت مصرفی واحد در رفتار سیستم مورد مطالعه مؤثر است لذا در این تحقیق به بررسی سیستم در شرایطی پرداخته شده است که از گاز طبیعی به عنوان سوخت بهره می‌برد.

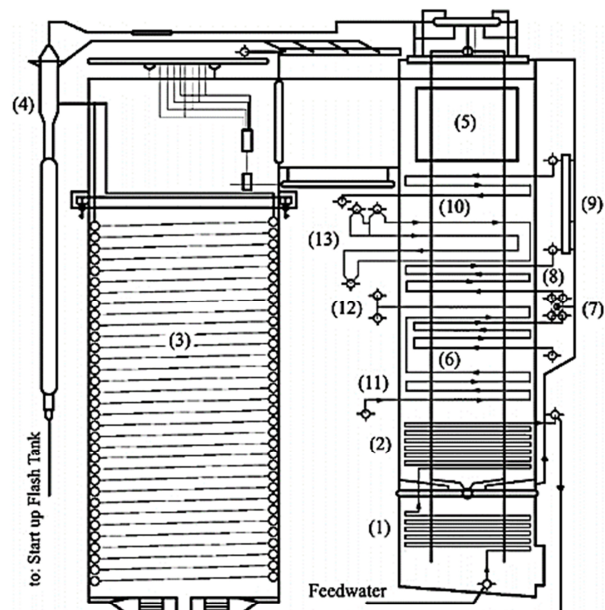
در واحد نیروگاهی مذکور سیستم ثبت‌کننده اطلاعات بر اساس وقوع رویداد<sup>1</sup> عمل می‌کرد، بدینصورت که داده‌ها تنها در صورتی ثبت می‌شدند که نسبت به مقدار قبلی بیش از دو درصد تغییر کرده باشند. این نحوه ذخیره‌سازی داده‌ها باعث می‌شود که بازه زمانی بین داده‌های ذخیره شده متفاوت از هم بوده و نحوه دقیق این تغییرات دو درصدی مشخص نباشد.

لذا داده‌هایی با فرض اینکه در بازه زمانی این تغییر دو درصدی، تغییر به طور یکنواخت صورت گرفته، بازسازی شده‌اند. علاوه بر این با توجه به تعداد نسبتاً زیاد ورودی‌های انتخابی برای سیستم (دوازده مورد) و تفاوت‌های قابل توجه در مقدار عددی آن‌ها، که به واسطه متفاوت بودن یکا وجود داشت، تمامی داده‌ها بر اساس بیشینه و کمینه آنها، بین صفر و یک نرمال شد تا تأثیر مقادیر کوچکتر سیگنال‌ها نادیده گرفته نشود [15].

داغ در تبخیرکننده تبدیل به بخار شده و از طریق عبور از فوق‌گرم تبدیل به بخار فوق‌گرم می‌شود. تبخیرکننده در ناحیه بالاتر از دمای گاز دودکش و به صورت یک کمرنگ مارپیچی قرار گرفته است. دمای خروجی تبخیرکننده تقريباً  $365^{\circ}\text{C}$  می‌باشد. فوق‌گرم از چهار بخش در گذر دوم دیگ بخار تشکیل شده است.

سطح گرم فوق‌گرم #1 در دیوارهای دیگ بخار واقع شده است. بخار از درگاه خروجی فوق‌گرم #1 به سمت فوق‌گرم #2 خارج می‌شود. دمای بخار خروجی از این بخش ثابت نیست اما در شرایط عادی حدود  $407^{\circ}\text{C}$  می‌باشد. در ادامه، بخار، فوق‌گرم #2 را به سمت فوق‌گرم #3 ترک می‌کند. به منظور کنترل سریع دمای بخار، چهار اسپری آبپاش بین دو قسمت قرار داده شده است. دمای بخار خروجی از این بخش ثابت نیوده، اما در شرایط عادی حدود  $470^{\circ}\text{C}$  می‌باشد. در ادامه، بخار، فوق‌گرم #2 را به سمت فوق‌گرم #3 ترک می‌کند. به منظور کنترل سریع دمای بخار، چهار اسپری آبپاش بین دو قسمت قرار داده شده است. در مسیر دو بخش قوی‌گرم، آب تغذیه به مسیر بخار تزریق و در نتیجه آن دمای بخار کاهش می‌یابد. جریان اسپری از پمپ‌های آب خوارک گرفته شده و به طور معمول نباید از حدود 6 درصد بار دیگ بخار تجاوز نماید. در این مورد دمای خروجی باید در  $470^{\circ}\text{C}$  ثابت نگاه داشته شود. بخار برای مرحله فوق‌گرم نهایی به فوق‌گرم #4 می‌رود. درجه حرارت در مرحله خروجی این قسمت باید در  $535^{\circ}\text{C}$  باقی بماند. در شرایط بار کامل، فشار بخار فوق‌گرم خروجی، در خروجی دیگ بخار  $18.1 \text{ MPa}$  می‌باشد [14]. در این سیستم، بخار تولیدی در مولد بخار هنگام خروج از بخش تبخیرکننده و پیش از ورود به بخش فوق‌گرم، ابتدا وارد محفظه‌ای به نام جداکننده می‌شود.

ساختر جداکننده به گونه‌ای است که موجب می‌شود بخار ورودی به آن، در درون آن به گردش درآید. آن بخش از بخار که دارای کیفیت مورد قبول



1: Economizer #1    6: Superheater #2    11: Reheater #1-a  
2: Economizer #2    7: Attemperator #1    12: Reheater #1-b  
3: Evaporator    8: Superheater #3    13: Reheater #2  
4: Separator    9: Attemperator #2  
5: Superheater #1    10: Superheater #4

Fig. 2 Once-through Boiler [14]

شکل 2 بخش گذر مولد بخار [14]

<sup>1</sup> Event-based

کیفیت بخار در نظر گرفته شود. در جدول 2، ویژگی‌های انتخابی بر اساس نسبت دمای دیواره‌ها ارائه شده است. باید به این نکته توجه نمود که سنسورهای دمای دیواره معمولاً به جز در شرایط نیاز به نشت یابی در لوله‌های مولد بخار، در سایر موارد بلاستفاده هستند.

از مزایای ویژگی‌های انتخابی می‌توان به تعداد کمتر آنها نسبت به تعداد ورودی‌های اصلی سیستم، تفکیک نسبتاً خوب ویژگی‌ها از یکدیگر و تغییر رفتار آن‌ها در شرایط سالم و ناسالم حالت گذار فرایند مورد بررسی اشاره نمود. در نتیجه با بررسی‌های صورت گرفته بر روی داده‌ها، ویژگی‌های مورد اشاره در جدول 2 از داده‌های مربوطه استخراج شد.

همچنین در شکل 3، نمایشی از رفتار سطح مخزن راهاندازی و ویژگی‌های انتخابی در داده‌های مورد استفاده در مرحله آموزش مشاهده می‌شود.

#### 5- طبقه‌بندی با استفاده از ماشین بردار پشتیبان

به کارگیری روش‌های تشخیص الگو در عیب‌یابی سیستم‌های صنعتی یکی از زمینه‌تحقیقاتی بسیار مورد توجه در میان محققان و سازندگان تجهیزات صنعتی است [24-22].

طبقه‌بندی از زیرمجموعه‌های اساسی در داده‌کاوی و به معنی اختصاص دادن یک بردار ویژگی به یکی از مجموعه‌های هدف است. در این راستا روش‌های طبقه‌بندی متنوع وجود دارد که ماشین بردار پشتیبان یکی از آن‌ها است [16]. ماشین بردار پشتیبان یک سیستم یادگیری ماشینی بر اساس تئوری یادگیری آماری می‌باشد. از مزیت‌های اصلی آن استفاده از توابع هسته، نبود مینیمم محلی، پراکندگی راه حل و قابلیت تعمیم حاصل از جدول 2 ویژگی‌های انتخابی برای عیب‌یابی.

Table 2 The selected features for fault detection

ویژگی	شماره ویژگی
U2	1
U9	
U4	2
U5	
U4	3
U6	
U4	4
U9	
U5	5
U6	
U9	6
U5	
U9	7
U6	

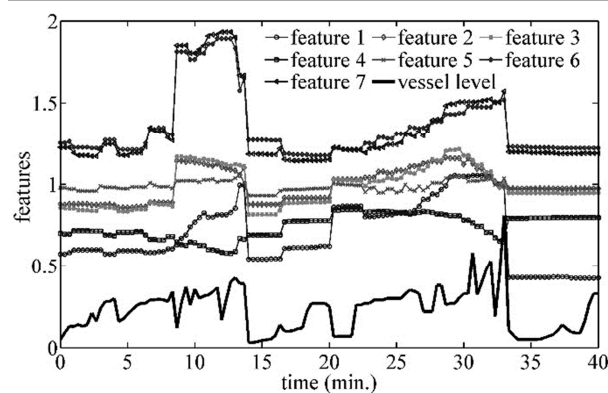


Fig. 3 Variation in the vessel level and extracted features in training section

شکل 3 تغییرات سطح مخزن راهانداز و ویژگی‌های استخراجی در مرحله آموزش

جدول 1 عوامل مؤثر بر فرایند افزایش سطح مخزن راهانداز در حالت گذار

Table 1 Effective variables on increasing start-up vessel level

متغیر	تشریح متغیر
U1	فشار متوسط بخار خروجی
U2	دمای متوسط هوا و گاز
U3	کل هوای ورودی به مشعلها
U4	دمای خروجی اکونومایزر (صرفه‌جو)
U5	دمای دیواره‌ی جلویی تبخیرکننده
U6	دمای دیواره‌ی پشت تبخیرکننده
U7	دی اب تغذیه
U8	دمای هدر بخار خروجی
U9	دمای بعد از جداساز
U10	دی جرمی بخار خروجی بعد از مولد بخار
U11	دی کل گاز
U12	دی گاز
y	سطح مخزن راهاندازی

#### 4- استخراج و انتخاب ویژگی

نکته اساسی در آموزش و تنظیم ماشین بردار پشتیبان یافتن ویژگی‌های مناسب و استخراج آن‌ها می‌باشد. در واقع ویژگی، کلید اصلی در تمايز میان دو پدیده است [16]. استخراج ویژگی داده به طرز چشم‌گیری باعث افزایش اعتمادپذیری و دقت سیستم‌های عیب‌یابی می‌شود [17]. اساس عیب‌یابی تشخیص الگو و طبقه‌بندی بوده، که طبیعاً استخراج ویژگی بخش مهم تشخیص الگو خواهد بود. روش‌های استخراج ویژگی مرسوم شامل روش‌های حوزه زمان، روش‌های حوزه فرکانس و روش‌های حوزه زمان-فرکانس می‌باشد [18, 19]. کاهش ابعاد<sup>1</sup>، پیش‌پردازشی پرکاربرد در تجزیه و تحلیل داده ابعاد بالا، تجسم<sup>2</sup> و مدل‌سازی می‌باشد. یکی از ساده‌ترین راه‌های کاهش ابعاد انتخاب ویژگی است که شامل انتخاب آن ابعادی از ورودی است که دربردارنده اطلاعات مرتبط برای حل آن مسئله خاص می‌باشد. استخراج ویژگی یک روش کلی تر می‌باشد که تلاشی برای توسعه و تبدیل فضای ورودی به زیر فضایی با ابعاد کمتر است که بیشتر اطلاعات مرتبط را حفظ می‌کند. استخراج و انتخاب ویژگی روش‌هایی اند که به صورت منفرد و یا ترکیبی برای ارتقاء و بهبود عملکردی همچون دقت تخمین<sup>3</sup>، تجسم و درک دانش یادگرفته شده استفاده می‌شوند [20]

در استخراج ویژگی اندازه فضای ویژگی، می‌تواند بدون از دست دادن اطلاعات زیادی از فضای ویژگی اصلی، کاهش یابد. انتخاب بین روش‌های استخراج و انتخاب ویژگی بستگی به نوع خاص داده و حوزه کاربرد آن‌ها داشته، با توجه به این که از معایب ماشین بردار پشتیبان سرعت کم آن در مرحله آموزش و آزمون می‌باشد [21]. لذا برای دست‌یابی به سیستم عیب‌یابی سریع و دقیق و همچنین دست‌یابی به تفکیک بهتر شرایط سالم از ناسالم، نسبت به استخراج ویژگی‌های مناسب از داده‌های انتخابی اقدام شد. اگرچه به نظر می‌رسد که ورودی‌های سوخت و آب باید به صورت مستقیم بر روی کیفیت بخار تأثیرگذار باشند، اما به دلیل عدم اطلاعات کافی از وضعیت انتقال حرارت توسط تشعشع، نمی‌توان از آن‌ها برای این منظور بهره برد. بررسی افزایش سطح مخزن راهانداز در شرایط تغییر بار، نشان می‌دهد که تغییر دمای دیواره‌ها می‌تواند به عنوان بهترین شاخصه افت

<sup>1</sup> Dimensionality reduction

<sup>2</sup> Visualization

<sup>3</sup> Estimated accuracy

معادلات (5) و (3)، تابع تصمیم به صورت رابطه (7) بدست می‌آید:

$$f(x) = \text{sign} \left( \sum_{i=1}^l v_i (x \cdot x_i) + b \right) \quad (7)$$

### ۵-۲- تفکیک داده و تابع هسته [27]

در جایی که مرز خطی در فضای ورودی قادر به تفکیک دو کلاس با دقت قابل قبول نیست یک فوق صفحه که مجاز به تفکیک خطی در ابعاد بالاتر است، ایجاد می‌شود. این وضعیت از طریق استفاده از تبدیل  $\emptyset(X)$  که داده‌ها را از فضای  $N$  بعدی به فضای ویژگی  $Q$  بعدی می‌برد، انجام می‌گیرد (شکل ۵).

$$S = Q(X) \quad X \in R^N, \quad b \in R \quad (8)$$

با جایگذاری تبدیل (8) در معادله (7)، رابطه (9) بدست می‌آید:

$$f(x) = \text{sign} \left( \sum_{i=1}^l v_i (\phi(x) \cdot \phi(x_i)) + b \right) \quad (9)$$

نگاشت به فضای ویژگی با ابعاد بیشتر نسبتاً محاسبات پیچیده‌ای دارد. بنابراین برای انجام این نگاشت می‌توان از یک هسته استفاده نمود. بوسیله ضرب نقطه‌ای، نگاشت می‌تواند بوسیله یک تابع هسته معادل جایگزین شود. تعریف تابع هسته صحیح توسط تئوری مرسن<sup>۱</sup> ارائه شده است. تابع باید پیوسته و مشتق معین باشد.

$$K(X \cdot y) = \varphi(X) \cdot \varphi(y) \quad (10)$$

و در نهایت تابع تصمیم به شکل رابطه (11) در می‌آید:

$$f(x) = \text{sign} \left( \sum_{i=1}^l v_i K(x \cdot y_i) + b \right) \quad (11)$$

پارامتر  $v_i$  به عنوان فاکتورهای وزن برای تعیین این که کدام یک از بردارهای ورودی واقعاً بردارهای پشتیبان هستند، استفاده می‌شوند. تابع هسته مورد استفاده از نوع RBF و به صورت رابطه (12) است:

$$K(x \cdot y) = \exp \left( \frac{-|x - y|^2}{2\sigma^2} \right) \quad (12)$$

در موقعي که یک روی‌هم‌افتادگی روی کلاس‌ها با داده‌های تفکیک‌ناپذیر وجود دارد محدوده پارامترهای  $v_i$  ممکن است برای کاهش اثر داده‌های نامرتبط روی بردارهای پشتیبان تعريف شده، محدود گردد. در این موقع یک قید به صورت  $\sum v_i < C$  تعريف می‌شود. مقدار  $C$  یک مقدار ثابت جریمه برای آن نقاط نمونه غیرقابل تفکیک توسط صفحه تفکیک کننده بهینه بوده و نقش آن ایجاد تعادل مناسب بین پیچیدگی محاسبات و خطای تفکیک می‌باشد. برای موارد تفکیک‌پذیر مقدار  $C$  بینهایت است ولی در موارد تفکیک‌ناپذیر ممکن است تغییر کند. این تغییرات وابسته به میزان مقدار مجاز خطای مرحله آموزش می‌باشد. هرچه مقدار  $C$  کمتر باشد امکان وقوع خطای در حل مسئله بیشتر و در مقابل نیز هرچه مقدار  $C$  بزرگتر باشد میزان خطای

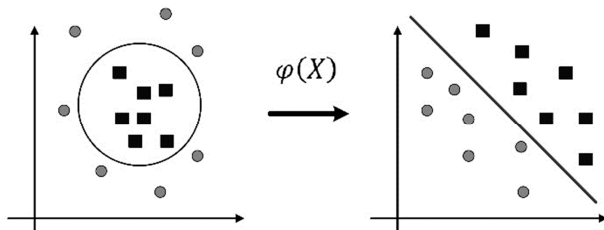


Fig. 5 Nonlinear separation of input and feature space.

شکل ۵ تفکیک غیرخطی فضای ورودی و ویژگی

<sup>۱</sup> Mercer's theorem

بهینه‌سازی حاشیه است ایده اصلی در ماشین بردار پشتیبان نگاشت فضای الگوی اصلی به فضای ویژگی با حداقل ابعاد و از طریق بعضی توابع نگاشت غیرخطی و در نهایت ساخت فوق صفحه‌ی جاکننده بهینه در فضای ویژگی است. در نتیجه مسئله غیرخطی با ابعاد پایین، تبدیل به مسئله خطی در فضایی با ابعاد زیاد می‌شود [25,12].

لذا با توجه به غیر خطی بودن سیگنال ویژگی‌ها در حالت گذار و نیاز به روش مناسب برای شناسایی الگوی خطای، انتخاب ماشین بردار پشتیبان می‌تواند برای عیب‌یابی فرایند گذراي مورد مطالعه مناسب باشد [26].

### ۵-۳- ساختار ماشین بردار پشتیبان

ماشین بردار پشتیبان در واقع یک مسئله باینری را که در آن داده‌ها به وسیله یک فوق صفحه از هم تفکیک می‌شوند، حل می‌کند [27]. این فوق صفحه از طریق استفاده از بردارهای پشتیبانی که زیر مجموعه‌ای از داده‌های در دسترس برای هردو کلاس‌اند، تعریف می‌شود. در مسئله دو بعدی، کارکرد ماشین بردار پشتیبان به راحتی و بدون هیچ نکته کلی در بردار، بصورت رابطه (1) قابل بیان است [27] (شکل 4).

$$(W \cdot X) + b = 0 \quad W \in R^N, \quad b \in R \quad (1)$$

که در رابطه (1) بردار  $W$  مرز را تعریف می‌کند،  $X$  بردار ورودی  $N$  بعدی و  $b$  آستانه عددی می‌باشد. معادلات کلاس‌های  $A$  و  $B$  نیز به ترتیب عبارت اند از:

$$(W \cdot X) + b = 1 \quad (W \cdot X) + b = -1 \quad (2)$$

از آنجا که بردارهای پشتیبان مربوط به تمام داده‌های موجود در یک کلاس هستند لذا می‌توان به کمک یک تابع تصمیم مشخص کرد که داده ارائه شده به کدام یک از مجموعه  $A$  و یا  $B$  تعلق دارد. این تابع به فرم رابطه (3) تعریف می‌شود:

$$f(X) = \text{sign}((W \cdot X) + b) \quad (3)$$

فوق صفحه بهینه از طریق حل مسئله بهینه‌سازی زیر قابل دست‌یابی خواهد بود:

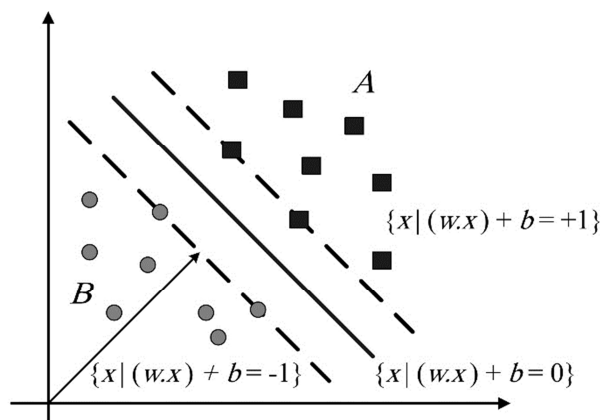
$$\tau(W) = \frac{1}{2} \|W\|^2 \quad (4)$$

$$y_i ((W \cdot X_i) + b) \geq 1, \quad i = 1, \dots, l. \quad (5)$$

که  $l$  تعداد مجموعه‌های آموزش می‌باشد. حل مسئله بهینه‌سازی برنامه‌ریزی درجه دو می‌تواند به صورت رابطه (6) بدست آید:

$$W = \sum v_i x_i \quad (6)$$

که در آن  $x_i$  بردارهای پشتیبان بدست آمده از آموزش است. با ترکیب

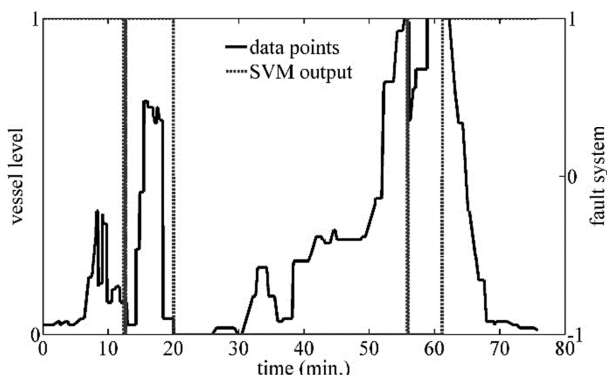


شکل ۴ طبقه‌بندی داده به وسیله ماشین بردار پشتیبان

جدول 3 مشخصات مربوط به داده‌های آموزش و آزمون

Table 3 Details of samples used at the train and test

دقت	تعداد داده‌های ناسالم	تعداد داده‌های سلام	تعداد کل داده‌ها	نوع مرحله
100	598	1994	2592	آموزش
99	2472	2080	4552	آزمون



شکل 7 نمودار نمایش خروجی سیستم عیب‌یاب و تغییرات سطح مخزن را انداز در مرحله آزمون

گذار را دارا هستند، طبقه‌بندی‌کننده ماشین بردار پشتیبان با تابع هسته پایه شاعی نیز انتخاب مناسبی برای این عیب‌یابی بوده است.

### 7- نتیجه‌گیری

در این تحقیق سیستم خطا‌یابی هوشمند مبتنی بر ماشین بردار پشتیبان بر روی یک مولد بخار واحد نیروگاهی با سوخت مصرفی گاز طبیعی پیاده‌سازی شده است. مولد بخار مذکور یک دیگ بخار بنسون یک‌گذر مربوط به تشخیص زودهنگام عیب ناشی از افزایش سطح مخزن را انداز در مولد بخار مورد نظر، عوامل مؤثر در می‌باشد. در ابتدا به کمک مطالعه و تحلیل فرایند مورد استخراج ویژگی‌های مناسب در زمینه عیب‌یابی اقدام و در نهایت از ماشین بردار پشتیبان برای طبقه‌بندی شرایط سالم و ناسالم و عیب‌یابی فرایند استفاده شد.

از ویژگی‌های این سیستم عیب‌یاب می‌توان به مانیتورینگ برخط شرایط ویژگی‌ها و تشخیص شرایط عادی و غیرعادی کاری در اولین مراحل انحراف آنها و هشداردهی نسبت به احتمال وقوع آن اشاره نمود. از جمله فواید تشخیص زودهنگام عدم کارکرد صحیح سیستم این خواهد بود که اپراتور در اسرع وقت از رویداد مطلع و با انجام مانور مناسب احتمال خروج واحد را تا حد زیادی می‌تواند کاهش دهد. نتایج حاصل صحت عملکرد سیستم عیب‌یاب را تأیید می‌کند.

از نتایج بارز این پژوهش می‌توان به معرفی ویژگی‌هایی اشاره نمود که با توجه به نتایج مراحل آموزش و تست سیستم عیب‌یاب طراحی شده، به خوبی قابلیت تفکیک شرایط سالم و ناسالم مربوط به رخداد مورد نظر را دارد.

سیستم عیب‌یاب معرفی شده به دلیل مزایایی از قبیل کاهش احتمال خروج بویلر از شرایط کاری، کاهش هزینه نگهداری، افزایش قابلیت دسترسی‌پذیری واحد نیروگاهی و عیب‌یابی بدون مداخله خاص در کارکرد واحد از جذابت قابل قبول برخوردار است.

کمتری مجاز خواهد بود. برای کنترل قابلیت عمومیت ماشین بردار پشتیبان پارامترهایی مانند ترم محدود کننده C و پارامتر هسته پایه شاعی مانند σ وجود دارند [27].

### 6- ارائه نتایج شبیه‌سازی

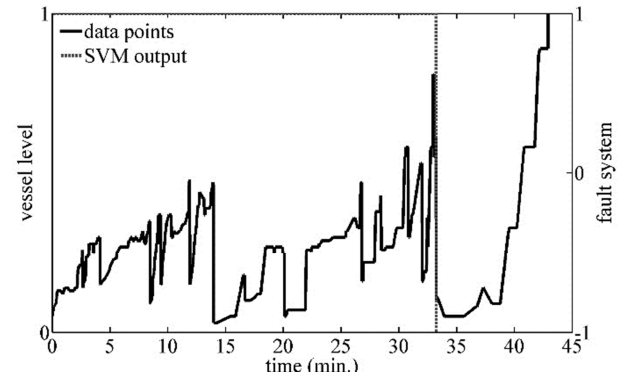
طبقه‌بندی از دو بخش آموزش و آزمون تشکیل شده است. بخش آموزش می‌تواند به دو صورت ناظرت شده و غیر ناظرت شده صورت گیرد. در این تحقیق از ماشین بردار پشتیبان که نوعی طبقه‌بندی کننده ناظرت شده می‌باشد، استفاده شده است. بخش آزمون در واقع بیانگر این واقعیت است که سیستم طبقه‌بندی کننده تا چه میزان بر اساس آموخته‌های خود قابلیت برچسب گذاری صحیح بر روی داده‌های را که ندیده است، دارا می‌باشد [28]. داده‌های مورد استفاده در این پژوهش از سه بخش تشکیل شده‌اند که بخش اول مربوط به افزایش سطح مخزن را انداز در شرایط عادی کاری و دو بخش دیگر مربوط به افزایش سطح مخزن را انداز در دو شرایط غیر عادی مشابه (از نظر عامل خروج واحد از مدار تولید) و در دو زمان متفاوت می‌باشد. از بخشی از داده‌های عادی و تمام داده‌های غیر عادی اول برای آموزش و از بخش باقی مانده داده عادی و تمام داده‌های غیر عادی دوم، برای آزمودن سیستم عیب‌یاب استفاده شد.

در شکل 6 مشاهده می‌شود که داده‌های مورد استفاده برای مرحله آموزش به گونه‌ای انتخاب شده که تقریباً تمام ارتفاعات ممکن سطح مخزن را انداز در شرایط سالم و ناسالم را در بر گیرند. همچنین قسمت اول داده‌ها که بیانگر شرایط سالم است با کلاس یک و قسمت دوم داده‌ها با کلاس منفی یک، بیانگر شرایط ناسالم می‌باشد. در جدول 3 تعداد نمونه‌های مورد استفاده در مراحل آموزش و آزمون و همچنین دقت سیستم عیب‌یاب در این دو مرحله ارائه شده است.

در شکل 7، نتایج حاصل از آزمون سیستم عیب‌یاب نمایش داده شده است. همان‌گونه که قبل اشاره شد داده‌های مورد استفاده در بخش آزمون در مرحله آموزش استفاده نشده‌اند.

با توجه به شکل 7، مشاهده می‌شود که ویژگی‌های استخراجی و سیستم طبقه‌بندی کننده هوشمند انتخابی با دقت بسیار مناسبی که در جدول 3 قابل رویت بوده که از عهده برچسب‌گذاری صحیح برآمده است.

با توجه به نتایج حاصله می‌توان دریافت که علاوه بر تعیین ویژگی‌های مناسبی که به خوبی قابلیت تفکیک شرایط سالم و ناسالم سیستم در حالت



شکل 6 نمودار نمایش تغییرات سطح مخزن را انداز مربوط به داده‌های مورد استفاده

در مرحله آموزش و کلاس‌بندی خطا آنها

## - مراجع

- University of Guilan, Roodsar, Guilan, Iran November 18-19, 2015.  
(in Persian فارسی)
- [16] H. Ziaieefar, M. Amiryani, M. Ghodsi, F. Honarvar, Y. Hojjat, Ultrasonic Damage Classification in Pipes and Plates using Wavelet Transform and SVM, *Modares Mechanical Engineering*, Vol. 15, No. 5, 2015. (in Persian فارسی)
- [17] M. Zadkarami, M. Shahbazian, K. Salahshoor, Oil pipeline leak diagnosis using wavelet transform and statistical features with artificial neural network application, *Modares Mechanical Engineering*, 2016. (in Persian فارسی)
- [18] A. K. Jardine, D. Lin, D. Banjevic, A review on machinery diagnostics and prognostics implementing condition-based maintenance, *Mechanical systems and signal processing*, Vol. 20, No. 7, pp. 1483-1510, 2006.
- [19] L. Ou, D. Yu, Fault diagnosis of roller bearings based on Laplacian energy feature extraction of path graphs, *Measurement*, Vol. 91, pp. 168-176, 2016.
- [20] S. Khalid, T. Khalil, S. Nasreen, A survey of feature selection and feature extraction techniques in machine learning, *Science and Information Conference (SAI)*, Vol. 1, pp. 372-378, 2014.
- [21] S. Kang, S. Cho, Approximating support vector machine with artificial neural network for fast prediction, *Expert Systems with Applications*, Vol. 41, No. 10, pp. 4989-4995, 2014.
- [22] A. Widodo, B.-S. Yang, Support vector machine in machine condition monitoring and fault diagnosis, *Mechanical Systems and Signal Processing*, Vol. 21, No. 6, pp. 2560-2574, 2007.
- [23] H. C. Sun, C. M. Huang, Y. C. Huang, Fault Diagnosis of Steam Turbine-Generator Sets Using an EPSO-Based Support Vector Classifier, *IEEE Transactions on Energy Conversion*, Vol. 28, No. 1, pp. 164-171, 2013.
- [24] P. Costamagna, A. D. Giorgi, L. Magistri, G. Moser, L. Pellaco, A. Trucco, A Classification Approach for Model-Based Fault Diagnosis in Power Generation Systems Based on Solid Oxide Fuel Cells, *IEEE Transactions on Energy Conversion*, Vol. 31, No. 2, pp. 676-687, 2016.
- [25] R. Jegadeeshwaran, V. Sugumaran, Fault diagnosis of automobile hydraulic brake system using statistical features and support vector machines, *Mechanical Systems and Signal Processing*, Vol. 52, pp. 436-446, 2015.
- [26] V. T. Tran, F. AlThobiani, A. Ball, B.-K. Choi, An application to transient current signal based induction motor fault diagnosis of Fourier-Bessel expansion and simplified fuzzy ARTMAP, *Expert Systems with Applications*, Vol. 40, No. 13, pp. 5372-5384, 2013.
- [27] K. C. Gryllias, I. A. Antoniadis, A Support Vector Machine approach based on physical model training for rolling element bearing fault detection in industrial environments, *Engineering Applications of Artificial Intelligence*, Vol. 25, No. 2, pp. 326-344, 2012.
- [28] M. Saimurugan, K. Ramachandran, V. Sugumaran, N. Sakthivel, Multi component fault diagnosis of rotational mechanical system based on decision tree and support vector machine, *Expert Systems with Applications*, Vol. 38, No. 4, pp. 3819-3826, 2011.
- [1] K.-Y. Chen, L.-S. Chen, M.-C. Chen, C.-L. Lee, Using SVM based method for equipment fault detection in a thermal power plant, *Computers in Industry*, Vol. 62, No. 1, pp. 42-50, 2011.
- [2] Y. Lei, Z. He, Y. Zi, Application of an intelligent classification method to mechanical fault diagnosis, *Expert Systems with Applications*, Vol. 36, No. 6, pp. 9941-9948, 2009.
- [3] P. Yang, S. Liu, Fault diagnosis for boilers in thermal power plant by data mining, *Proceeding of The 8th Control, Automation, Robotics and Vision Conference*, pp. 2176-2180, 2004.
- [4] T. Han, B.-S. Yang, Development of an e-maintenance system integrating advanced techniques, *Computers in Industry*, Vol. 57, No. 6, pp. 569-580, 2006.
- [5] J. Cai, X. Ma, Q. Li, On-line monitoring the performance of coal-fired power unit: A method based on support vector machine, *Applied Thermal Engineering*, Vol. 29, No. 11-12, pp. 2308-2319, 2009.
- [6] X. Wang, L. Ma, T. Wang, An optimized nearest prototype classifier for power plant fault diagnosis using hybrid particle swarm optimization algorithm, *International Journal of Electrical Power & Energy Systems*, Vol. 58, pp. 257-265, 2014.
- [7] D. Garcia-Alvarez, M. Fuente, G. Sainz, Fault detection and isolation in transient states using principal component analysis, *Journal of Process Control*, Vol. 22, No. 3, pp. 551-563, 2012.
- [8] B. Iung, A. C. Marquez, Special issue on e-maintenance, *Computers in Industry*, Vol. 57, No. 6, pp. 473-475, 2006.
- [9] G.-M. Lim, D.-M. Bae, J.-H. Kim, Fault diagnosis of rotating machine by thermography method on support vector machine, *Journal of Mechanical Science and Technology*, Vol. 28, No. 8, pp. 2947-2952, 2014.
- [10] N. Saravanan, V. K. Siddabattuni, K. Ramachandran, Fault diagnosis of spur bevel gear box using artificial neural network (ANN), and proximal support vector machine (PSVM), *Applied Soft Computing*, Vol. 10, No. 1, pp. 344-360, 2010.
- [11] N. Laouti, N. Sheibat-Othman, S. Othman, Support vector machines for fault detection in wind turbines, *IFAC Proceedings Volumes*, Vol. 44, No. 1, pp. 7067-7072, 2011.
- [12] A. Chaibakhsh, N. Ensansafat, A. Kiyaee Jamali, A. Jamali, R. Kouhi Kamali, Fouling detection inside the tubes of crude oil preheat furnace using optimized support vector machines, *Modares Mechanical Engineering*, Vol. 15, No. 10, pp. 49-55, 2015. (in Persian فارسی)
- [13] K. Bacha, S. Souahlia, M. Gossa, Power transformer fault diagnosis based on dissolved gas analysis by support vector machine, *Electric power systems research*, Vol. 83, No. 1, pp. 73-79, 2012.
- [14] A. Chaibakhsh, A. Ghaffari, S. A. A. Moosavian, A simulated model for a once-through boiler by parameter adjustment based on genetic algorithms, *Simulation Modelling Practice and Theory*, Vol. 15, No. 9, pp. 1029-1051, 2007.
- [15] M. Moradi, A. Chaibakhsh, Local Linear Model Identification for a Sub-section of Boiler Power Plant Using Neuro-fuzzy Approach, *Proceeding of The 1th National Conference on Soft Computing*,